

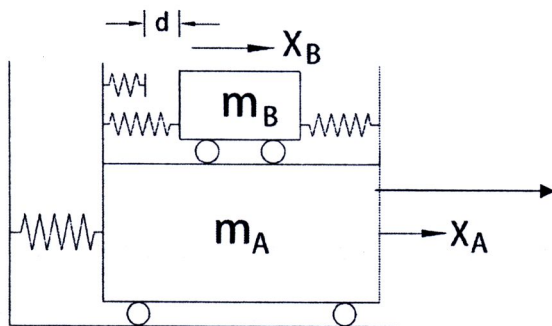
## บทที่ 4

### ผลการศึกษา

ผลการศึกษาครั้งนี้เพื่อเปรียบเทียบประสิทธิภาพของมวลหน่วงปรับค่าแบบแพสสีฟกับมวลหน่วงปรับค่าพิเศษ โดยจะนำໄไปวเคราะห์เปรียบเทียบการลดลงของขนาดการเคลื่อนที่ของอาคารหลักที่ติดตั้งมวลหน่วงปรับค่าแบบแพสสีฟเดิมกับแบบที่พัฒนา โดยใช้วิเคราะห์ค่าการเคลื่อนที่ของอาคารชั้นเดียวกับอาคารสามชั้น

#### 4.1. ผลการศึกษาเปรียบเทียบค่าการเคลื่อนตัวของอาคารชั้นเดียวที่ติดตั้งมวลหน่วงปรับค่าแบบแพสสีฟกับติดตั้งมวลหน่วงปรับค่าพิเศษเมื่อรับแรงกระทำแบบตาม

พิจารณาจากรูปที่ 2.5.1 แบบจำลองอาคารชั้นเดียวที่ติดตั้งมวลหน่วงปรับค่าพิเศษ



จะใช้สมการที่ 2.6 กับ 2.15 วิเคราะห์การเคลื่อนที่ของมวลA  
โดยกำหนดของมวลหน่วงปรับค่าพิเศษเป็นดังนี้

$$K_A = 100 \text{ KN/m} \quad m_A = 100 \text{ T} \quad m_B = 5 \text{ kg}$$

$$P \sin(\omega t) = 9.81 \sin(\omega t) \text{ KN}$$

$$K_B = 2 \text{ KN/m}$$

$$K'_B = 5 \text{ KN/m}$$

$$d = 0.82 \text{ m}$$

สามารถคำนวณหาค่าต่างๆ ได้ดังนี้

$$\omega_A = 1 \text{ rad/s}$$

$$\omega_B = 0.632 \text{ rad/s}$$

$$\omega'_B = 1 \text{ rad/s}$$

$$\omega_r = 0.632 \text{ rad/s}$$

$$\omega'_r = 1 \text{ rad/s}$$

$$F = 9.81 \text{ KN}$$



$$\Omega_1 = \sqrt{\frac{1}{2} + \frac{\omega_r^2(1+m_r)}{2} + \sqrt{\frac{[1+\omega_r^2(1+m_r)]^2}{4} - \omega_r^2}} = 0.622 \text{ rad/s}$$

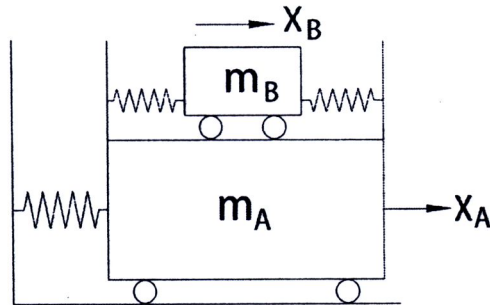
$$\Omega_2 = \sqrt{\frac{1}{2} + \frac{\omega_r^2(1+m_r)}{2} - \sqrt{\frac{[1+\omega_r^2(1+m_r)]^2}{4} - \omega_r^2}} = 1.016 \text{ rad/s}$$

$$\Omega'_1 = \sqrt{\frac{1}{2} + \frac{\omega'^2(1+m_r)}{2} + \sqrt{\frac{[1+\omega'^2(1+m_r)]^2}{4} - \omega'^2}} = 0.8944 \text{ rad/s}$$

$$\Omega'_2 = \sqrt{\frac{1}{2} + \frac{\omega'^2(1+m_r)}{2} - \sqrt{\frac{[1+\omega'^2(1+m_r)]^2}{4} - \omega'^2}} = 1.118 \text{ rad/s}$$

$$X_{PA} = \frac{F}{K_A} \left( \frac{\omega'^2 - \Omega^2}{D'_0} \right) \sin(\omega t)$$

จากรูปที่ 2.4 แบบจำลองอาคารชั้นเดียวที่ติดตั้งมวลหน่วงปรับค่าแบบแพสซีฟ



กำหนดของมวลหน่วงปรับค่าแพสสีฟดังนี้

$$K_A = 100 \text{ KN/m} \quad m_A = 100 \text{ T} \quad m_B = 5 \text{ kg}$$

$$P \sin(\omega t) = 9.81 \sin(\omega t) \text{ KN}$$

$$K_B = 5 \text{ KN/m}$$

สามารถคำนวณหาค่าต่างๆ ได้ดังนี้

$$\omega_A = 1 \text{ rad/s} \quad \omega_B = 1 \text{ rad/s} \quad \omega_r = 1 \text{ rad/s}$$

$$F = 9.81 \text{ KN}$$

กำหนดให้

$X_{st}$  คือค่าการเคลื่อนที่ของมวลAเมื่อแรงกระทำเป็นแบบสกิดย์

$X_{PA}$  คือค่าการเคลื่อนที่ของมวลAเมื่อแรงกระทำเป็นแบบควบ

$$X_{st} = \frac{P}{K_A} = \frac{9.81}{100} = 0.0981 \text{ m}$$

ผลการศึกษาเปรียบเทียบอาคารชั้นเดียวที่ติดตั้งมวลหน่วงปรับค่าแบบแพสสีฟกับที่ติดตั้งมวลหน่วงปรับค่าพิเศษจะใช้สมการที่ 2.6 วิเคราะห์การเคลื่อนที่ของมวลA ได้ผลดังนี้

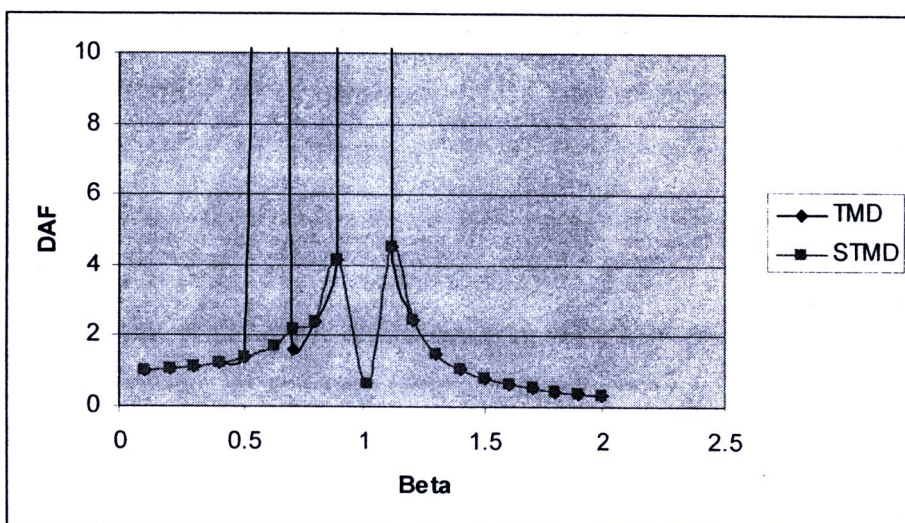
**ตารางที่ 4.1 อัตรากำลังขยายของมวลหน่วงกับอัตราส่วนความเร็วเชิงมุม**

อัตราส่วนความเร็วเชิงมุม $\frac{\omega_A}{\omega}$ (เรเดียน/วินาที)	กำลังขยายของมวลหน่วง ปรับค่าแพสสีฟ(TMD)	กำลังขยายของมวลหน่วง ปรับค่าพิเศษ(STMD)
0.1	1.011	1.01062
0.2	1.044	1.04408
0.3	1.106	1.10596
0.4	1.21	1.20968
0.5	1.395	1.39535
0.622	43.15	1.7195
0.7	1.616	2.16469
0.8	2.419	2.41935
0.8944	4.166	4.16578
1.0	0	0
1.016	2518	0.63782
1.118	4.535	4.53491
1.2	2.425	2.42537
1.3	1.506	1.50648
1.4	1.07	1.06967
1.5	0.816	0.81588
1.6	0.651	0.65092
1.7	0.536	0.53568
1.8	0.451	0.45102
1.9	0.386	0.38647
2	0.336	0.33582

จากตารางที่ 4.1 แสดงถึงอัตราส่วนขนาดขยายของการเคลื่อนที่ของโครงสร้างหลักเนื่องจากแรงกระทำแบบค่า  $9.81 \sin(\omega t)$  KN ต่ออัตราส่วนแรงกระทำแบบสถิติ  $9.81$

$$\text{KN} \left( \frac{X_{PA}}{X_{st}} \right) \text{ ของมวล}$$

หน่วงปรับค่าแบบแพสซีฟ(TMD) และมวลหน่วงปรับค่าแบบพิเศษ (STMD) ที่อัตราความเร็วเชิงมุนของแรงกระทำต่ออัตราเร็วเชิงมุนของความถี่ธรรมชาติของมวล  $m_A \left( \frac{\omega_A}{\omega} \right)$  จากกราฟแสดงให้เห็นว่ามวลหน่วงปรับค่าแบบพิเศษไม่มีการสั่นพ้องสำหรับโครงสร้างที่มีดีกรีอิสระเดียว



รูปที่ 4.1 กราฟกำลังขยายของมวลหน่วงTMD&STMD กับอัตราส่วนความเร็วเชิงมุนเบต้า

กราฟรูปที่ 4.1 แสดงความสัมพันธ์ระหว่างแกนตั้ง DAF ขนาดขยายการเคลื่อนที่เนื่องจากแรงกระทำแบบค่าต่อแรงกระทำแบบสถิติ  $\left( \frac{X_{PA}}{X_{st}} \right)$  กับอัตราส่วน Beta อัตราเร็วเชิงมุนของแรงกระทำแบบค่าต่ออัตราเร็วเชิงมุนของมวล  $A \left( \frac{\omega}{\omega_A} \right)$

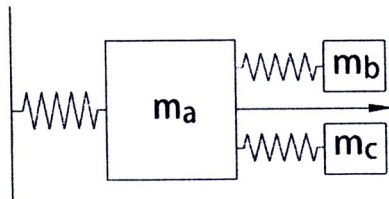
4.1.1. จากตารางที่ 4.1 เมื่อ  $\omega = 0.622 \text{ rad/s}$  พฤติกรรมเมื่อรับแรงกระทำ  $P \sin(\Omega_1 \omega_A t)$  เนื่องจาก  $\omega = \Omega_1 \omega_A$  สมการที่ 2.9 ทำให้  $D_0=0$  จากสมการที่ 2.6 มวล B จึงเคลื่อนที่สัมพัทธ์กับมวล A เกินระยะ d ทำให้โครงสร้างมีความถี่ที่เกิดการสั่นพ้องเปลี่ยนเป็น  $\Omega'_1 \omega_A$  และ  $\Omega'_2 \omega_A$  จึงไม่เกิดการสั่นพ้องที่ความถี่นี้

- 4.1.2. จากตารางที่ 4.1 เมื่อ  $\omega = 0.8944 \text{ rad/s}$  พฤติกรรมเมื่อรับแรงกระทำ  $P \sin(\Omega'_1 \omega_A t)$  เนื่องจาก  $\omega = \Omega'_1 \omega_A$  สมการที่ 2.15a ไม่ทำให้  $D_0 = 0$  และมวล B เคลื่อนที่สัมพัทธ์กับมวล A ไม่เกินระยะ d จึงไม่เกิดการสั่นพ้องที่ความถี่นี้ ข้อควรระวังคือจะต้องให้มีระยะ d เพียงพอที่จะไม่ทำให้เกิดการเปลี่ยนความถี่ในช่วงนี้ จะทำให้เกิดการสั่นพ้องได้เนื่องจากค่านิจสปริงของมวลหน่วงเปลี่ยน เป็น  $K'_B$  จะทำให้  $D'_0 = 0$  ทั้งนี้จะขึ้นอยู่กับขนาดของแรงกระทำด้วย
- 4.1.3. จากตารางที่ 4.1 เมื่อ  $\omega = 1.016 \text{ rad/s}$  พฤติกรรมเมื่อรับแรงกระทำ  $P \sin(\Omega'_2 \omega_A t)$  เนื่องจาก  $\omega = \Omega'_2 \omega_A$  สมการที่ 2.10 ทำให้  $D_0 = 0$  จากสมการที่ 4 มวล B เคลื่อนที่สัมพัทธ์กับมวล A เกินระยะ d ทำให้โครงสร้างมีความถี่ที่เกิดการสั่นพ้องที่  $\Omega'_1 \omega_A$  และ  $\Omega'_2 \omega_A$  จึงไม่เกิดการสั่นพ้องที่ความถี่นี้
- 4.1.4. จากตารางที่ 4.1 เมื่อ  $\omega = 1.118 \text{ rad/s}$  พฤติกรรมเมื่อรับแรงกระทำ  $P \sin(\Omega'_2 \omega_A t)$  เนื่องจาก  $\omega = \Omega'_2 \omega_A$  สมการที่ 2.15b ไม่ทำให้  $D_0 = 0$  และมวล B เคลื่อนที่สัมพัทธ์กับมวล A ไม่เกินระยะ d ไม่เกิดการสั่นพ้องที่ความถี่นี้ ข้อควรระวังคือจะต้องให้มีระยะ d เพียงพอที่จะไม่ทำให้เกิดการเปลี่ยนความถี่ในช่วงนี้ จะทำให้เกิดการสั่นพ้องได้เนื่องจากค่านิจสปริงของมวลหน่วง เปลี่ยนไปเป็น  $K'_B$  จะทำให้  $D'_0 = 0$  ทั้งนี้จะขึ้นอยู่กับขนาดของแรงกระทำด้วย
- 4.1.5. จากตารางที่ 4.1 เมื่อ  $\omega = 1 \text{ rad/s}$  เป็นความถี่ธรรมชาติของมวล A มวล B เคลื่อนที่สัมพัทธ์กับมวล A เกินระยะ d แต่ไม่ทำให้เกิดการเคลื่อนที่มากการเคลื่อนที่ของมวล A เท่ากับ 0
- 4.1.6. จากตารางที่ 4.1 ขนาดผลตอบสนองสูงสุดของมวล A ที่ติดตั้งมวลหน่วงปรับค่าพิเศษเป็น 4.5 เท่าของแรงสถิตย์

#### 4.2. ผลการศึกษาเปรียบเทียบอาคารชั้นเดียวที่ติดตั้งมวลหน่วงปรับค่าแบบ

##### แพสสีฟ 2 ตัวกับที่ติดตั้งมวลหน่วงปรับค่าพิเศษ

พิจารณาจากรูปที่ 2.7 แบบจำลองอาคารชั้นเดียวที่ติดตั้งมวลหน่วงปรับค่าแบบแพสสีฟ ส่องด้วย



ข้อมูลการศึกษาเปรียบเทียบอาคารชั้นเดียวที่ติดตั้งมวลหน่วงปรับค่าแบบแพสสีฟ 2 ตัวเป็นดังนี้

มวลหน่วงปรับค่าหอยด้วยตัวกรณีมวลหน่วง 2 ตัว จะใช้สมการที่ 2.20 วิเคราะห์หากการเคลื่อนที่ของมวล A โดยโครงสร้างมีคุณสมบัติตั้งนี้โครงสร้างหลักหนัก 100 ตัน มีค่าสติฟเนส 100 KN/m มีมวลหน่วงสองตัวหนักตัวละ 2.5 ตัน มีค่านิjsปริง 1 KN/m และ 2.5 KN.m

มวลหน่วงสองตัวจะใช้ข้อมูลตามนี้

$$K_A = 100 \text{ KN/m} \quad m_A = 100 \text{ T}$$

$$m_B = 2.5 \text{ T} \quad m_C = 2.5 \text{ T}$$

$$P \sin(\omega t) = 9.81 \sin(\omega t) \text{ KN}$$

$$K_B = 2.5 \text{ KN/m}$$

$$K_C = 5 \text{ KN/m}$$

โดยกำหนดของมวลหน่วงปรับค่าพิเศษเป็นดังนี้

$$K_A = 100 \text{ KN/m} \quad m_A = 100 \text{ T} \quad m_B = 5 \text{ kg}$$

$$P \sin(\omega t) = 9.81 \sin(\omega t) \text{ KN}$$

$$K_B = 2.5 \text{ KN/m}$$

$$K'_B = 5 \text{ KN/m}$$

$$d = 1 \text{ m}$$

สามารถคำนวณหาค่าต่างๆ ได้ดังนี้

$$\omega_A = 1 \text{ rad/s}$$

$$\omega_B = 0.632 \text{ rad/s}$$

$$\omega'_B = 1 \text{ rad/s}$$

$$\omega_r = 0.632 \text{ rad/s}$$

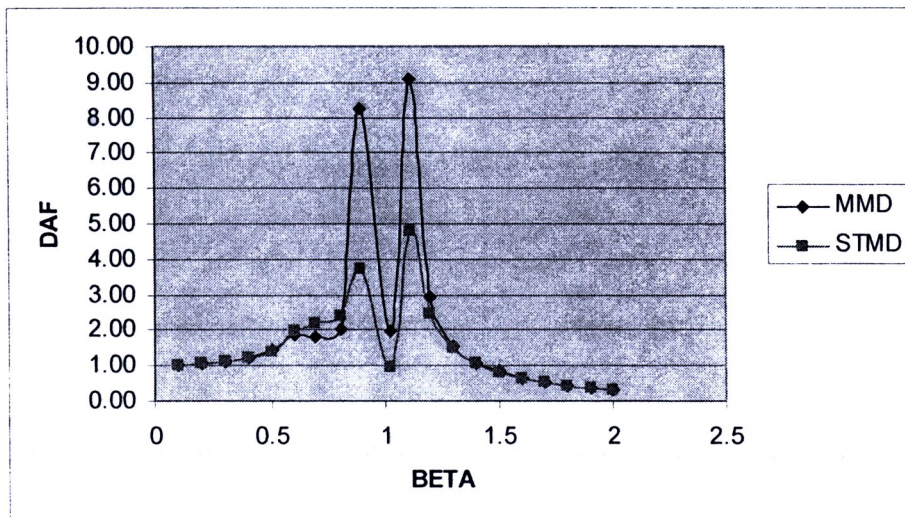
$$\omega'_r = 1 \text{ rad/s}$$

$$F = 9.81 \text{ KN}$$

ผลการศึกษาเปรียบเทียบอาคารชั้นเดียวที่ติดตั้งมวลหน่วงปรับค่าแบบแพสสีฟกับที่ติดตั้งมวลหน่วงปรับค่าพิเศษได้ดังนี้

ตารางที่ 4.2 อัตรากำลังขยายของมวลหน่วงกับอัตราส่วนความเร็วเชิงมุมของ  
MMD กับTMD

อัตราส่วนความเร็วเชิงมุม $\frac{\omega_A}{\omega}$ (เรเดียน/วินาที)	กำลังขยายของมวลหน่วง ปรับค่าแพสซีฟสองตัว (MMD)	กำลังขยายของมวลหน่วง ปรับค่าพิเศษ(STMD)
0.1	1.01	1.01
0.2	1.05	1.04
0.3	1.11	1.11
0.4	1.22	1.21
0.5	1.41	1.40
0.6	1.87	1.94
0.691	1.78	2.16
0.8	2.00	2.42
0.894	8.25	3.73
1	0	0
1.024	1.97	0.97
1.118	9.08	4.80
1.2	2.90	2.43
1.3	1.56	1.51
1.4	1.09	1.07
1.5	0.83	0.82
1.6	0.66	0.65
1.7	0.54	0.54
1.8	0.45	0.45
1.9	0.39	0.39
2	0.34	0.34



รูปที่ 4.2 กราฟกำลังขยายของมวลหน่วง MMD&STMD กับอัตราส่วนความเร็วเชิงมุมเบต้า

4.2.1. จากตารางที่ 4.2 เมื่อ  $\omega = 0.691 \text{ rad/s}$  พฤติกรรมเมื่อรับแรง

กระทำ  $P \sin(\Omega_1 \omega_A t)$  เมื่อจาก  $\omega = \Omega_1 \omega_A$  จากสมการที่ 2.9 ทำให้  $D_0=0$  จากสมการที่ 2.6 มวล B จึงเคลื่อนที่สัมพัทธ์กับมวล A เกินระยะ d ทำให้โครงสร้างมีความถี่ที่เกิดการสั่นพ้องเปลี่ยนเป็น  $\Omega'_1 \omega_A$  และ  $\Omega'_2 \omega_A$  จึงไม่เกิดการสั่นพ้องที่ความถี่นี้

4.2.2. จากตารางที่ 4.2 เมื่อ  $\omega = 0.894 \text{ rad/s}$  พฤติกรรมเมื่อรับแรง

กระทำ  $P \sin(\Omega'_1 \omega_A t)$  เมื่อจาก  $\omega = \Omega'_1 \omega_A$  จากสมการที่ 2.15a ไม่ทำให้  $D_0=0$  และมวล B เคลื่อนที่สัมพัทธ์กับมวล A ไม่เกินระยะ d จึงไม่เกิดการสั่นพ้องที่ความถี่นี้ ข้อควรระวังคือจะต้องให้มีระยะ d เพียงพอที่จะไม่ทำให้เกิดการเปลี่ยนความถี่ในช่วงนี้ จะทำให้เกิดการสั่นพ้องได้เนื่องจากค่านิจสปริงของมวลหน่วงเปลี่ยนเป็น  $K'_B$  จะทำให้  $D'_0 = 0$  ทั้งนี้จะขึ้นอยู่กับขนาดของแรงกระทำด้วย

4.2.3. จากตารางที่ 4.2 เมื่อ  $\omega = 1.024 \text{ rad/s}$  พฤติกรรมเมื่อรับแรง

กระทำ  $P \sin(\Omega_2 \omega_A t)$  เมื่อจาก  $\omega = \Omega_2 \omega_A$  จากสมการที่ 2.10 ทำให้  $D_0=0$  จากสมการที่ 4 มวล B เคลื่อนที่สัมพัทธ์กับมวล A เกินระยะ d ทำให้โครงสร้างมีความถี่ที่เกิดการสั่นพ้องที่  $\Omega'_1 \omega_A$  และ  $\Omega'_2 \omega_A$  จึงไม่เกิดการสั่นพ้องที่ความถี่นี้

4.2.4. จากตารางที่ 4.2 เมื่อ  $\omega = 1.118 \text{ rad/s}$  พฤติกรรมเมื่อรับแรง

กระทำ  $P \sin(\Omega'_2 \omega_A t)$  เมื่อจาก  $\omega = \Omega'_2 \omega_A$  จากสมการที่ 2.15b ไม่ทำให้  $D_0=0$  และ

มวล B เคลื่อนที่สัมพัทธ์กับมวล A "ไม่เกินระยะ d" ไม่เกิดการสั่นพ้องที่ความถี่นี้ ข้อควรระวังคือจะต้องให้มีระยะ d เพียงพอที่จะไม่ทำให้เกิดการเปลี่ยนความถี่ ในช่วงนี้ จะทำให้เกิดการสั่นพ้องได้เนื่องจากค่าคง劲สปริงของมวลหน่วง เปลี่ยนไป เป็น  $K'_B$  จะทำให้  $D'_0 = 0$  ทั้งนี้จะขึ้นอยู่กับขนาดของแรงกระทำด้วย

4.2.5. จากตารางที่ 4.1 เมื่อ  $\omega = 1 \text{ rad/s}$  เป็นความถี่ธรรมชาติของมวล A มวล B เคลื่อนที่สัมพัทธ์กับมวล A เกินระยะ d แต่ไม่ทำให้เกิดการเคลื่อนที่มากการเคลื่อนที่ของมวล A เท่ากับ 0

4.2.6. จากตารางที่ 4.2 ขนาดผลตอบสนองสูงสุดของมวล A ที่ติดตั้งมวลหน่วงปรับค่าพิเศษเป็น 4.8 เท่าของแรงสติก

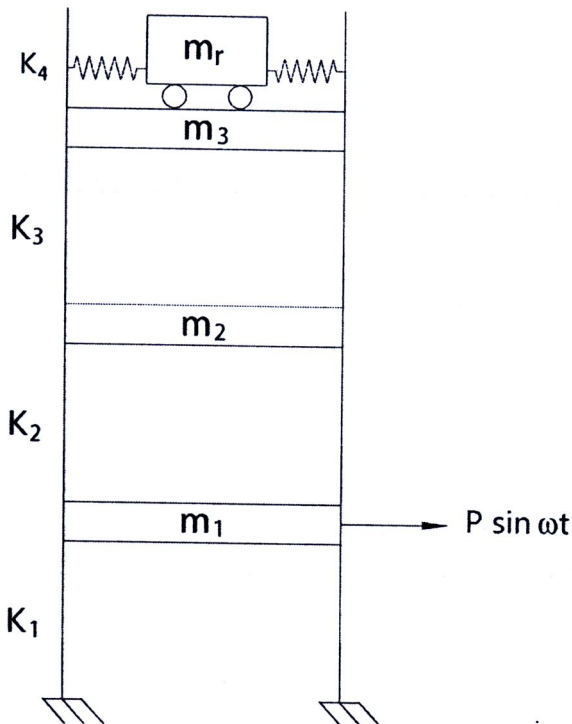
4.2.7. จากกราฟรูปที่ 4.2 กำลังขยายของมวลหน่วงปรับค่าพิเศษน้อยกว่ามวลหน่วงปรับค่าแบบพิเศษสองตัว โดยรวมตัวแล้วมีประสิทธิภาพมากกว่า

ผลการวิเคราะห์ในตัวอย่างที่ 4.1 และ 4.2 เพื่อแสดงถึงประสิทธิภาพของมวลหน่วงปรับค่าพิเศษว่าได้ดีกว่ามวลหน่วงปรับค่าแบบแพสสีฟในกรณีที่เป็นอาคารชั้นเดียวอย่างชัดเจน เพราะลดอัตราการเคลื่อนที่ของอาคารมากกว่าในกรณีที่อาคารชั้นเดียวที่มีมวลหน่วงปรับค่าแบบแพสสีฟเกิดสั่นพ้อง

ตัวอย่างที่ 4.3 จะเป็นตัวอย่างที่มีจุดประสงค์ที่จะนำไปใช้กับอาคารจริงโดยที่มวลหน่วงปรับค่าพิเศษอาจจะเป็นพื้นสำเร็จที่มีล้อเลื่อนข้างล่าง มีรยางสำหรับเคลื่อนที่อยู่บนดาดฟ้าและมีสปริงจากเสาของอาคารมาสูตร้ำพื้นสำเร็จที่ติดตั้ง จากตัวอย่างที่นำมาแสดงนี้แสดงถึงประสิทธิภาพที่ดีกว่าของมวลหน่วงปรับค่าพิเศษต่อมวลหน่วงปรับค่าแบบแพสสีฟ แต่ถ้านำมาใช้กับอาคารจริงกรณีเกิดแผ่นดินไหวตามข้อกำหนดตามกฎกระทรวง อาคารก็ยังเกิดการวิบัติต้องมีการพัฒนาไปมากกว่านี้จึงจะทำให้อาคารไม่วิบัติ

#### 4.3.ผลการศึกษาเปรียบเทียบอาคาร 3 ชั้นที่ติดตั้งมวลหน่วงปรับค่าแบบแพสสีฟกับที่ติดตั้งมวลหน่วงปรับค่าพิเศษ

พิจารณาจากรูปที่ 2.8 แบบจำลองอาคารชั้นเดียวที่ติดตั้งมวลหน่วงปรับค่าแบบแพสสีฟ ส่องตัว



อาคาร 3 ชั้นที่ติดตั้งมวลหน่วงปรับค่าแบบแพสสีฟจะใช้สมการที่ 2.24 วิเคราะห์การเคลื่อนที่ของมวลในชั้นต่างๆ คุณสมบัติของอาคารที่ติดตั้งมวลหน่วงปรับค่าแบบแพสสีฟเป็นดังนี้

$$\text{มวลของชั้นที่หนึ่ง } m_1 = 100\text{T}$$

$$\text{มวลของชั้นที่สอง } m_2 = 100\text{T}$$

$$\text{มวลของชั้นที่สาม } m_3 = 100\text{T}$$

$$\text{มวลหน่วง } m_r = 5.52\text{T}$$

$$\text{ค่าความแข็งแกร่งของเสาชั้นที่หนึ่ง } K_1 = 100\text{KN/m}$$

$$\text{ค่าความแข็งแกร่งของเสาชั้นที่สอง } K_2 = 100\text{KN/m}$$

$$\text{ค่าความแข็งแกร่งของเสาชั้นที่สาม } K_3 = 100\text{KN/m}$$

$$\text{ค่านิjsปริงของมวลหน่วง } K_4 = 10.304\text{KN/m}$$

แรงกระทำที่ชั้นที่หนึ่ง  $P_1 = 9.81 \sin \omega t \text{KN}$

แรงกระทำที่ชั้นที่สอง  $P_2 = 9.81 \sin \omega t \text{KN}$

แรงกระทำที่ชั้นที่สาม  $P_3 = 9.81 \sin \omega t \text{KN}$

ความเร็วเชิงมุ่งที่ทำให้เกิดการสั่นพ้อง

ค่าความเร็วเชิงมุ่งสั่นพ้องที่หนึ่งของอาคารสามชั้นไม่มีการติดตั้งมวลหน่วง

$$\omega_{01} = 1.4073 \text{ rad/s}$$

ค่าความเร็วเชิงมุ่งสั่นพ้องที่สองของอาคารสามชั้นไม่มีการติดตั้งมวลหน่วง

$$\omega_{02} = 3.9433 \text{ rad/s}$$

ค่าความเร็วเชิงมุ่งสั่นพ้องที่สามของอาคารสามชั้นไม่มีการติดตั้งมวล

$$\text{หน่วง } \omega_{03} = 5.6932 \text{ rad/s}$$

ค่าความเร็วเชิงมุ่งสั่นพ้องที่หนึ่งของอาคารสามชั้นติดตั้งมวลหน่วงปรับค่าแบบแพลต์

$$\text{สีฟ } \omega_{P1} = 1.272 \text{ rad/s}$$

ค่าความเร็วเชิงมุ่งสั่นพ้องที่สองของอาคารสามชั้นติดตั้งมวลหน่วงปรับค่าแบบแพลต์

$$\text{สีฟ } \omega_{P2} = 1.512 \text{ rad/s}$$

ค่าความเร็วเชิงมุ่งสั่นพ้องที่สามของอาคารสามชั้นติดตั้งมวลหน่วงปรับค่าแบบแพลต์

$$\text{สีฟ } \omega_{P3} = 3.949 \text{ rad/s}$$

ค่าความเร็วเชิงมุ่งสั่นพ้องที่สี่ของอาคารสามชั้นติดตั้งมวลหน่วงปรับค่าแบบแพลต์สีฟ

$$\omega_{P4} = 5.699 \text{ rad/s}$$

โดยที่

$\omega_{01}$  ความเร็วเชิงมุ่งธรรมชาติแรกที่ 1 ของอาคาร 3 ชั้นที่ไม่ติดตั้งมวลหน่วง

$\omega_{02}$  ความเร็วเชิงมุ่งธรรมชาติแรกที่ 2 ของอาคาร 3 ชั้นที่ไม่ติดตั้งมวลหน่วง

$\omega_{03}$  ความเร็วเชิงมุ่งธรรมชาติแรกที่ 3 ของอาคาร 3 ชั้นที่ไม่ติดตั้งมวลหน่วง

$\omega_{P1}$  ความเร็วเชิงมุ่งธรรมชาติที่ 1 ของอาคาร 3 ชั้นที่ไม่ติดตั้งมวลหน่วงแบบแพลต์สีฟ

$\omega_{P2}$  ความเร็วเชิงมุ่งธรรมชาติที่ 2 ของอาคาร 3 ชั้นที่ไม่ติดตั้งมวลหน่วงแบบแพลต์สีฟ

$\omega_{P3}$  ความเร็วเชิงมุ่งธรรมชาติที่ 3 ของอาคาร 3 ชั้นที่ไม่ติดตั้งมวลหน่วงแบบแพลต์สีฟ



สมการการเคลื่อนตัวด้านข้างของชั้นที่ 1 ของอาคาร 3 ชั้นติดตั้งมวลหน่วงปรับค่าแบบแพสสีฟ

$$C_1 = \frac{\begin{vmatrix} 9.81 & -100 & 0 & 0 \\ 9.81 & 100 + 100 - 100\omega^2 & -100 & 0 \\ 9.81 & -100 & 100 + 100 - 100\omega^2 & -100 \\ 0 & 0 & -100 & 10.304 - 5.52\omega^2 \end{vmatrix}}{\begin{vmatrix} 100 + 100 - 100\omega^2 & -100 & 0 & 0 \\ -100 & 100 + 100 - 100\omega^2 & -100 & 0 \\ 0 & -100 & 100 + 100 - 100\omega^2 & -100 \\ 0 & 0 & -100 & 10.304 - 5.52\omega^2 \end{vmatrix}}$$

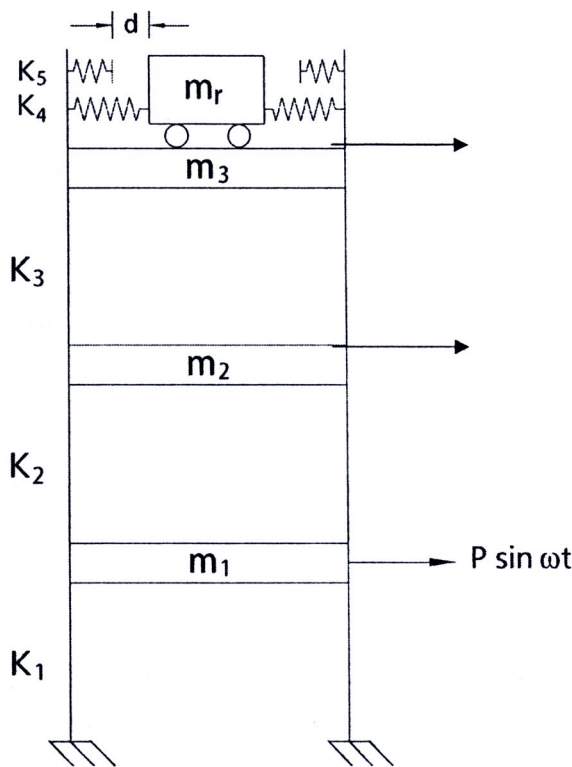
สมการการเคลื่อนตัวด้านข้างของชั้นที่ 2 ของอาคาร 3 ชั้นติดตั้งมวลหน่วงปรับค่าแบบแพสสีฟ

$$C_2 = \frac{\begin{vmatrix} 100 + 100 - 100\omega^2 & 9.81 & 0 & 0 \\ -100 & 9.81 & -100 & 0 \\ 0 & 9.81 & 100 + 100 - 100\omega^2 & -100 \\ 0 & 0 & -100 & 10.304 - 5.52\omega^2 \end{vmatrix}}{\begin{vmatrix} 100 + 100 - 100\omega^2 & -100 & 0 & 0 \\ -100 & 100 + 100 - 100\omega^2 & -100 & 0 \\ 0 & -100 & 100 + 100 - 100\omega^2 & -100 \\ 0 & 0 & -100 & 10.304 - 5.52\omega^2 \end{vmatrix}}$$

สมการการเคลื่อนตัวด้านข้างของชั้นที่ 3 ของอาคาร 3 ชั้นติดตั้งมวลหน่วงปรับค่าแบบแพสสีฟ

$$C_3 = \frac{\begin{vmatrix} 100 + 100 - 100\omega^2 & -100 & 9.81 & 0 \\ -100 & 100 + 100 - 100\omega^2 & 9.81 & 0 \\ 0 & -100 & 9.81 & -100 \\ 0 & 0 & 0 & 10.304 - 5.52\omega^2 \end{vmatrix}}{\begin{vmatrix} 100 + 100 - 100\omega^2 & -100 & 0 & 0 \\ -100 & 100 + 100 - 100\omega^2 & -100 & 0 \\ 0 & -100 & 100 + 100 - 100\omega^2 & -100 \\ 0 & 0 & -100 & 10.304 - 5.52\omega^2 \end{vmatrix}}$$

พิจารณาจากรูปที่ 2.9 แบบจำลองอาคารชั้นเดียวที่ติดตั้งมวลหน่วงปรับค่าแบบพิเศษ



อาคาร 3 ชั้นที่ติดตั้งมวลหน่วงปรับค่าพิเศษจะใช้สมการที่ 2.25 วิเคราะห์การเคลื่อนที่ของมวลในชั้นต่างๆ คุณสมบัติของอาคารเป็นดังนี้

มวลของชั้นที่หนึ่ง  $m_1 = 100T$

มวลของชั้นที่สอง  $m_2 = 100T$

มวลของชั้นที่สาม  $m_3 = 100T$

มวลหน่วง  $m_r = 5.52T$

ค่าความแข็งแกร่งของเสาชั้นที่หนึ่ง  $K_1 = 100\text{KN/m}$

ค่าความแข็งแกร่งของเสาชั้นที่สอง  $K_2 = 100\text{KN/m}$

ค่าความแข็งแกร่งของเสาชั้นที่สาม  $K_3 = 100\text{KN/m}$

ค่านิjsปริงตัวที่หนึ่งของมวลหน่วง  $K_4 = 5.152\text{KN/m}$

ค่านิjsปริงตัวที่สองของมวลหน่วง  $K_5 = 5.152\text{KN/m}$

แรงกระทำที่ชั้นที่หนึ่ง  $P_1 = 9.81 \sin \omega t \text{KN}$

แรงกระทำที่ชั้นที่สอง  $P_2 = 9.81 \sin \omega t \text{KN}$

แรงกระทำที่ชั้นที่สาม  $P_3 = 9.81 \sin \omega t \text{KN}$

ความเร็วเชิงมุ่งที่ทำให้เกิดการสั่นพ้อง

ค่าความเร็วเชิงมุมสั่นพ้องที่หนึ่งของอาคารสามชั้นไม่มีการติดตั้งมวลหน่วง

$$\omega_{01} = 1.4073 \text{ rad/s}$$

ค่าความเร็วเชิงมุ่งสั่นพ้องที่สองของอาคารสามชั้นไม่มีการติดตั้งมวลหน่วง

$$\omega_{02} = 3.9433 \text{ rad/s}$$

ค่าความเร็วเชิงมุ่งสั่นพ้องที่สามของอาคารสามชั้นไม่มีการติดตั้งมวล

$$\text{អនែង } \omega_{03} = 5.6932 \text{ rad/s}$$

ค่าความเร็วเชิงมุ่งสั่นพ้องที่หนึ่งของอาคารสามชั้นติดตั้งมวลหน่วงปรับค่าแบบพิเศษ เมื่อมวลหน่วงเคลื่อนที่ไม่ถึงสปริงที่สอง  $\omega_{p_1} = 0.9547 \text{ rad/s}$

ค่าความเร็วเชิงมุ่งสั่นพองที่สองของอาคารสามชั้นติดตั้งมวลหน่วงปรับค่าแบบพิเศษ เมื่อมวลหน่วงเคลื่อนที่ไม่ถึงสปริงที่สอง  $\omega_{p2} = 1.4257 \text{ rad/s}$

ค่าความเร็วเชิงมุ่งสั่นพองที่สามของอาคารสามชั้นติดตั้งมวลหน่วงปรับค่าแบบพิเศษ

เมื่อมวลหน่วงเคลื่อนที่ไม่ถึงสปริงที่สอง  $\omega_2 = 3.9547 \text{ rad/s}$

ค่าความเร็วเชิงมมสั่นพ้องที่สี่ของอาคารสามชั้นติดตั้งมวลหน่วงปรับค่าแบบพิเศษ

เมื่อมวลหน่วงเคลื่อนที่ไม่ถึงสูตริงที่สูง  $\omega = 5.6987 \text{ rad/s}$

ค่าความเร็วเชิงมลพังท์ที่หนึ่งของอาการสามัญติดตั้งมวลหน่วงไว้เจ้าแห่งพิเศษ

เมื่อมวลดหน่วงเคลื่อนที่ถึงสูงที่สุด  $\theta = 127.20 \text{ rad/s}$

ค่าความเร็วเชิงมมสั่นพ้องที่สองของอาคารสามารถหักดิ่ดตั้งมวลหน่วงไว้เจ้าแนวพิเศษ

เมื่อความเร็วห่วงเคลื่อนที่ถึงสูงที่สุด  $\omega = 1.5120 \text{ rad/s}$

ค่าความเร็วเชิงมุมสั่นพองที่สามารถคาดการณ์ได้ตั้งแต่หน่วยรั้ง เจ้าแห่งเพิ่มเตะ

เมื่อความลอนผ่างเฉลี่ือนที่กึ่งสาโรงที่สอง  $\omega = 3.9485 \text{ rad/s}$

ค่าความเร็วเชิงมุมสั่นพ้องที่สูงคงความสามานុទិតចั้นเวลาหน่วงไว้เจ้า鞭เพียง

เงื่อนวัลหน่วยเคลื่อนที่กีฬา แรงที่สูง ๒ - ๕ ๖๙๙๓ rad/s

๑๖๙

๗๙) ความเร็วเชิงมุ่งธรรมชาติหากที่หนึ่ง ของอาคาร 3 ชั้นที่ติดตั้งมวลหน่วงแบบปรับค่าพิเศษเป็นมวลหน่วงเคลื่อนเท้าไปเก็บฐานที่สอง

๑๙<sub>S2</sub> ความเร็วเชิงมุ่งธรรมชาติหากที่สอง ของอาคาร 3 ชั้นที่ดีดตั้งมวลหน่วงแบบปรับค่าพิเศษเป็นมวลหน่วงเคลื่อนที่ไม่ถึงสาโรงที่สอง

๖๓ ความเร็วเชิงมุ่งธรรมชาติรากที่สาม ของอาคาร 3 ชั้นที่ติดตั้งมวลหน่วงแบบปรับค่าพิเศษเมื่อมวลหน่วงเคลื่อนที่ไม่ถึงสาโรงที่ส่อง

$\omega_{s4}$  ความเร็วเชิงมุมธรรมชาติแรกที่สี่ ของอาคาร 3 ชั้นที่ติดตั้งมวลหน่วงแบบปรับค่าพิเศษเมื่อมวลหน่วงเคลื่อนที่ไม่ถึงสปริงที่สอง

สมการการเคลื่อนตัวด้านข้างของชั้นที่ 1 ของอาคาร 3 ชั้นติดตั้งมวลหน่วงปรับค่าแบบพิเศษ

กรณีที่มวลหน่วงเคลื่อนที่ไม่ถึงสปริง  $K_s$

$$C_1 = \frac{\begin{vmatrix} 9.81 & -100 & 0 & 0 \\ 9.81 & 100 + 100 - 100\omega^2 & -100 & 0 \\ 9.81 & -100 & 100 + 100 - 100\omega^2 & -100 \\ 0 & 0 & -100 & 10.304 - 5.52\omega^2 \end{vmatrix}}{\begin{vmatrix} 100 + 100 - 100\omega^2 & -100 & 0 & 0 \\ -100 & 100 + 100 - 100\omega^2 & -100 & 0 \\ 0 & -100 & 100 + 100 - 100\omega^2 & -100 \\ 0 & 0 & -100 & 10.304 - 5.52\omega^2 \end{vmatrix}}$$

กรณีที่มวลหน่วงเคลื่อนที่ถึงสปริง  $K_s$

$$C_1 = \frac{\begin{vmatrix} 9.81 & -100 & 0 & 0 \\ 9.81 & 100 + 100 - 100\omega^2 & -100 & 0 \\ 9.81 + 5.152(0.5) & -100 & 100 + 5.152 - 100\omega^2 & -100 - 5.152 \\ -5.152(0.5) & 0 & -100 - 5.152 & 2(5.152) - 5.52\omega^2 \end{vmatrix}}{\begin{vmatrix} 2(100) - 100\omega^2 & -100 & 0 & 0 \\ -100 & 2(100) - 100\omega^2 & -100 & 0 \\ 0 & -100 & 100 + 2(5.152) - 100\omega^2 & -100 - 5.152 \\ 0 & 0 & -100 - 5.152 & 2(5.152) - 5.52\omega^2 \end{vmatrix}}$$

สมการการเคลื่อนตัวด้านข้างของชั้นที่ 2 ของอาคาร 3 ชั้นติดตั้งมวลหน่วงปรับค่าแบบพิเศษ

กรณีที่มวลหน่วงเคลื่อนที่ไม่ถึงสปริง  $K_s$

$$C_2 = \frac{\begin{vmatrix} 100 + 100 - 100\omega^2 & 9.81 & 0 & 0 \\ -100 & 9.81 & -100 & 0 \\ 0 & 9.81 & 100 + 100 - 100\omega^2 & -100 \\ 0 & 0 & -100 & 10.304 - 5.52\omega^2 \end{vmatrix}}{\begin{vmatrix} 100 + 100 - 100\omega^2 & -100 & 0 & 0 \\ -100 & 100 + 100 - 100\omega^2 & -100 & 0 \\ 0 & -100 & 100 + 100 - 100\omega^2 & -100 \\ 0 & 0 & -100 & 10.304 - 5.52\omega^2 \end{vmatrix}}$$

กรณีที่มวลหน่วงเคลื่อนที่ถึงสปริง  $K_s$

$$C_2 = \frac{\begin{vmatrix} 100 + 100 - 100\omega^2 & 9.81 & 0 & 0 \\ 9.81 & 9.81 & -100 & 0 \\ 9.81 + 5.152(0.5) & 9.81 + 5.152(0.5) & 100 + 5.152 - 100\omega^2 & -100 - 5.152 \\ -5.152(0.5) & -5.152(0.5) & -100 - 5.152 & 2(5.152) - 5.52\omega^2 \end{vmatrix}}{\begin{vmatrix} 2(100) - 100\omega^2 & -100 & 0 & 0 \\ 9.81 & 2(100) - 100\omega^2 & -100 & 0 \\ 9.81 + 5.152(0.5) & -100 & 100 + 2(5.152) - 100\omega^2 & -100 - 5.152 \\ -5.152(0.5) & 0 & -100 - 5.152 & 2(5.152) - 5.52\omega^2 \end{vmatrix}}$$

สมการการเคลื่อนตัวด้านข้างของชั้นที่ 3 ของอาคาร 3 ชั้นติดตั้งมวลหน่วงปรับค่าแบบแพสสีฟ

กรณีที่มวลหน่วงเคลื่อนที่ไม่ถึงสปริง  $K_s$

$$C_3 = \frac{\begin{vmatrix} 100 + 100 - 100\omega^2 & -100 & 9.81 & 0 \\ -100 & 100 + 100 - 100\omega^2 & 9.81 & 0 \\ 0 & -100 & 9.81 & -100 \\ 0 & 0 & 0 & 10.304 - 5.52\omega^2 \end{vmatrix}}{\begin{vmatrix} 100 + 100 - 100\omega^2 & -100 & 0 & 0 \\ -100 & 100 + 100 - 100\omega^2 & -100 & 0 \\ 0 & -100 & 100 + 100 - 100\omega^2 & -100 \\ 0 & 0 & -100 & 10.304 - 5.52\omega^2 \end{vmatrix}}$$

กรณีที่มวลหน่วงเคลื่อนที่ถึงสปริง  $K_s$

$$C_3 = \frac{\begin{vmatrix} 2(100) - 100\omega^2 & -100 & 9.81 & 0 \\ 9.81 & 2(100) - 100\omega^2 & 9.81 & 0 \\ 9.81 + 5.152(0.5) & -100 & 9.81 + 5.152(0.5) & -100 - 5.152 \\ -5.152(0.5) & 0 & -5.152(0.5) & 2(5.152) - 5.52\omega^2 \end{vmatrix}}{\begin{vmatrix} 2(100) - 100\omega^2 & -100 & 0 & 0 \\ 9.81 & 2(100) - 100\omega^2 & -100 & 0 \\ 9.81 + 5.152(0.5) & -100 & 100 + 2(5.152) - 100\omega^2 & -100 - 5.152 \\ -5.152(0.5) & 0 & -100 - 5.152 & 2(5.152) - 5.52\omega^2 \end{vmatrix}}$$

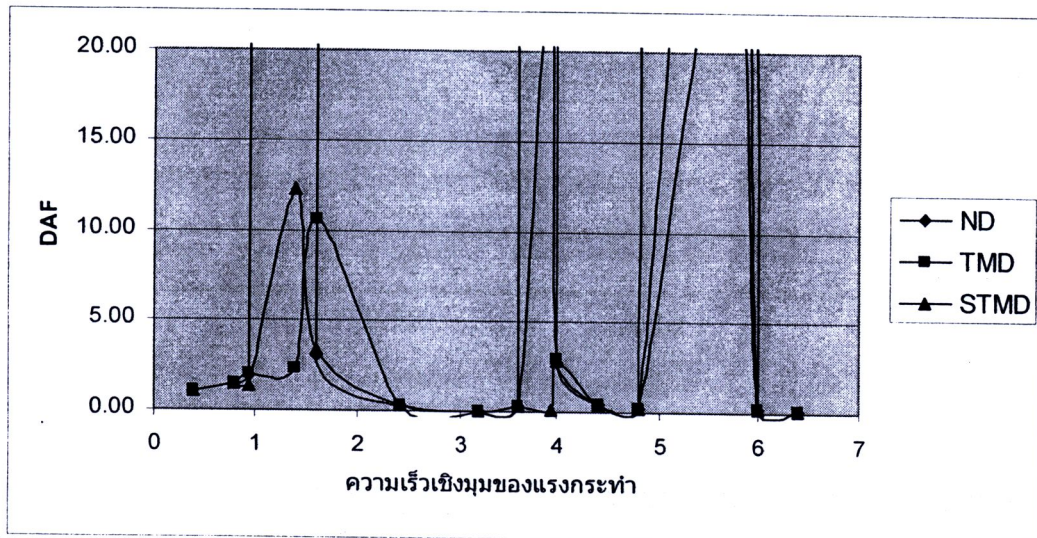
ผลการวิเคราะห์แสดงในตารางต่อไปนี้

การเคลื่อนที่ของมวล  $m_1$

ตารางที่ 4.3 ตารางแสดงค่าขนาดการขยายของการเคลื่อนที่ของอาคาร 3 ชั้น ชั้นที่ 1

	ND	TMD	STMD
0.4	1.08	1.08	1.08
0.8	1.44	1.47	1.50
1.0	1.86	1.95	1.41
1.4	13996.38	2.27	12.25
1.425	34.73	3.31	14.20
1.512	5.82	332.82	6.95
1.6	3.02	10.61	3.30
2.4	0.35	0.36	0.35
3.2	0.02	0.01	0.01
3.6	0.30	0.29	0.30
3.9	34683.94	27.89	0.10
4.0	2.69	2.91	2.79
4.4	0.38	0.38	0.38
4.8	0.20	0.20	0.20
5.7	1146.24	29.56	59.43
6.0	0.21	0.21	0.21
6.4	0.13	0.13	0.13

ตารางที่ 4.3 แสดงถึงขนาดการขยายของค่าการเคลื่อนที่ของอาคาร 3 ชั้น ชั้นที่ 1 เมื่อเปลี่ยนความเร็วเชิงมุมของแรงกระทำแบบสามหารับอาคารที่ไม่ติดตั้งมวลหน่วง(ND), อาคารที่ติดตั้งมวลหน่วงปรับค่าแบบแพสสีฟ(TMD) กับอาคารที่ติดตั้งมวลหน่วงปรับค่าแบบพิเศษ(STMD)



รูปที่ 4.3 กราฟกำลังขยายของชั้นที่ 1 กับความเร็วเชิงมุมของแรงกระทำ

สมการการเคลื่อนตัวต้านข้างของชั้นที่ 2 ของอาคาร 3 ชั้นติดตั้งมวลหน่วงปรับค่าแบบแพสสีฟ

$$C_2 = \begin{vmatrix} 100 + 100 - 100\omega^2 & 9.81 & 0 & 0 \\ -100 & 9.81 & -100 & 0 \\ 0 & 9.81 & 100 + 100 - 100\omega^2 & -100 \\ 0 & 0 & -100 & 10.304 - 5.52\omega^2 \end{vmatrix}$$

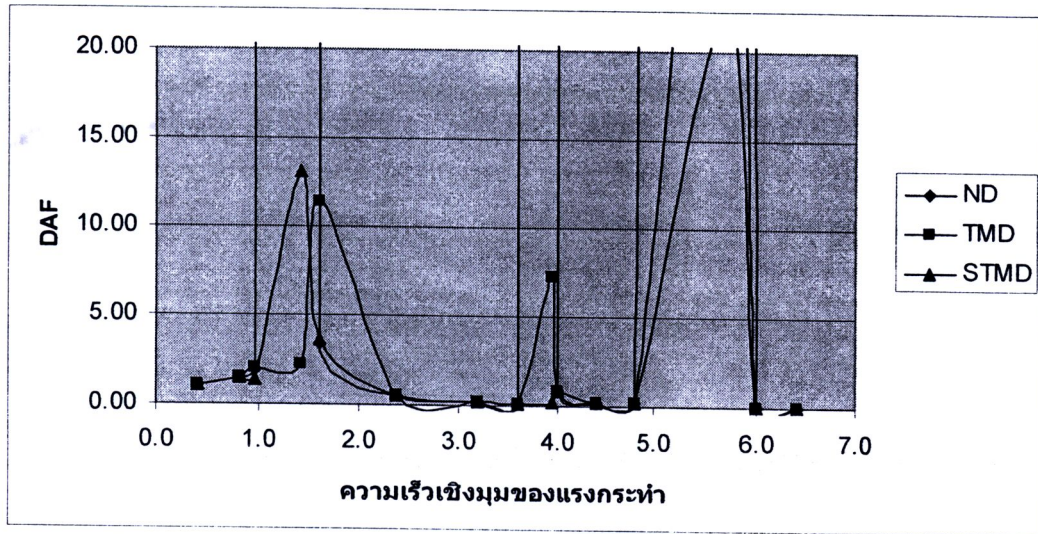
$$\begin{vmatrix} 100 + 100 - 100\omega^2 & -100 & 0 & 0 \\ -100 & 100 + 100 - 100\omega^2 & -100 & 0 \\ 0 & -100 & 100 + 100 - 100\omega^2 & -100 \\ 0 & 0 & -100 & 10.304 - 5.52\omega^2 \end{vmatrix}$$

การเคลื่อนที่ของมวล  $m_2$

ตารางที่ 4.4 ตารางแสดงถึงขนาดการขยายของค่าการเคลื่อนที่ของอาคาร 3 ชั้น ชั้นที่ 2

	ND	TMD	STMD
0.4	1.09	1.09	1.09
0.8	1.47	1.50	1.54
1.0	1.92	2.03	1.41
1.4	15132.27	2.26	13.05
1.425	37.64	3.37	15.11
1.512	6.39	353.93	7.58
1.6	3.36	11.40	3.65
2.4	0.50	0.51	0.50
3.2	0.19	0.20	0.19
3.6	0.07	0.08	0.08
3.9	9261.61	7.25	0.23
4.0	0.85	0.90	0.87
4.4	0.21	0.21	0.21
4.8	0.16	0.16	0.16
5.7	857.78	22.31	44.67
6.0	0.00	0.00	0.00
6.4	0.03	0.03	0.03

ตารางที่ 4.4 แสดงถึงขนาดการขยายของค่าการเคลื่อนที่ของอาคาร 3 ชั้น ชั้นที่ 2 เมื่อเปลี่ยนความเร็วเชิงมุมของแรงกระทำแบบค่าสำหรับอาคารที่ไม่ติดตั้งมวลหน่วง (ND) ,อาคารที่ติดตั้งมวลหน่วงปรับค่าแบบแพสสีฟ(TMD) กับอาคารที่ติดตั้งมวลหน่วงปรับค่าแบบพิเศษ(STMD)



รูปที่ 4.4 กราฟขนาดการขยายของชั้นที่ 2 กับความเร็วเชิงมุมของแรงกระทำ

สมการการเคลื่อนตัวด้านข้างของชั้นที่ 3 ของอาคาร 3 ชั้นติดตั้งมวลหน่วงปรับค่าแบบแพสสีฟ

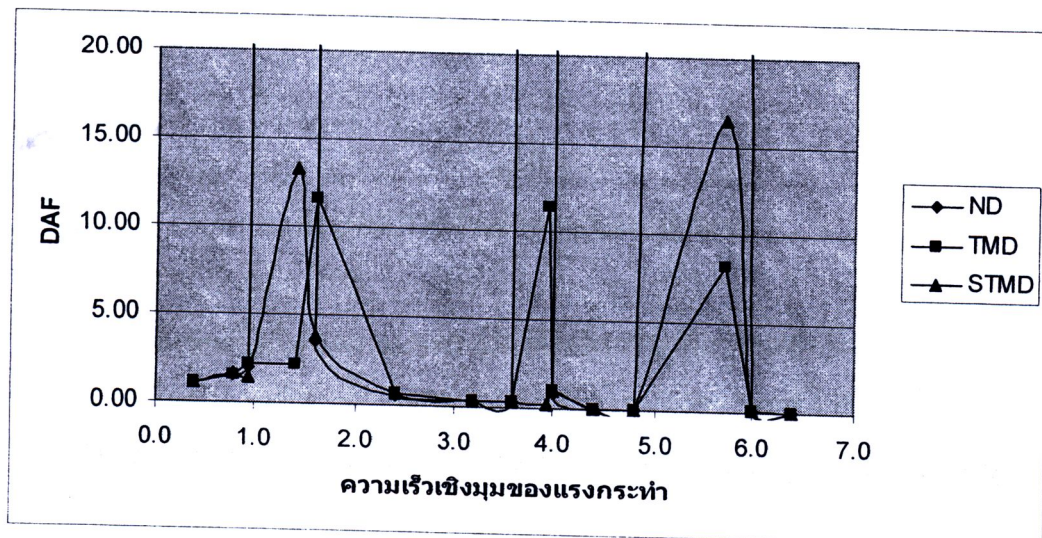
$$C_3 = \frac{\begin{vmatrix} 100 + 100 - 100\omega^2 & -100 & 9.81 & 0 \\ -100 & 100 + 100 - 100\omega^2 & 9.81 & 0 \\ 0 & -100 & 9.81 & -100 \\ 0 & 0 & 0 & 10.304 - 5.52\omega^2 \end{vmatrix}}{\begin{vmatrix} 100 + 100 - 100\omega^2 & -100 & 0 & 0 \\ -100 & 100 + 100 - 100\omega^2 & -100 & 0 \\ 0 & -100 & 100 + 100 - 100\omega^2 & -100 \\ 0 & 0 & -100 & 10.304 - 5.52\omega^2 \end{vmatrix}}$$

การเคลื่อนที่ของมวล  $m_3$

ตารางที่ 4.5 ตารางแสดงค่าขนาดการขยายของ การเคลื่อนที่ของอาคาร 3 ชั้น ชั้นที่ 3

	ND	TMD	STMD
0.4	1.09	1.09	1.09
0.8	1.49	1.52	1.57
1.0	1.95	2.08	1.36
1.4	15724.65	2.09	13.30
1.425	39.16	3.22	15.36
1.512	6.89	356.22	7.89
1.6	3.54	11.58	3.82
2.4	0.58	0.59	0.59
3.2	0.33	0.33	0.33
3.6	0.36	0.36	0.36
3.9	13906.99	11.42	0.20
4.0	0.90	0.99	0.94
4.4	0.01	0.01	0.01
4.8	0.02	0.02	0.02
5.7	318.05	8.24	16.53
6.0	0.07	0.07	0.07
6.4	0.05	0.05	0.05

ตารางที่ 4.5 แสดงถึงขนาดการขยายของค่าการเคลื่อนที่ของอาคาร 3 ชั้น ชั้นที่ 3 เมื่อเปลี่ยนความเร็วเชิงมุมของแรงกระทำแบบค่าสำหรับอาคารที่ไม่ติดตั้งมวลหน่วง(ND) , อาคารที่ติดตั้งมวลหน่วงปรับค่าแบบแพสสีฟ(TMD) กับอาคารที่ติดตั้งมวลหน่วงปรับค่าแบบพิเศษ(STMD)



รูปที่ 4.5 กราฟขนาดการขยายของชั้นที่ 3 กับความเร็วเชิงมุมของแรงกระทำ

จากการคำนวณหาค่าความเร็วเชิงมุมธรรมชาติของอาคารได้ดังนี้

4.3.1. จากตารางที่ 4.3 ,4.4 ,4.5 ช่วงความเร็วเชิงมุมธรรมชาติแรกของอาคาร 3 ชั้น อาคารที่ติดตั้งมวลหน่วงปรับค่าพิเศษ(STMD) มีการเคลื่อนด้านข้างน้อยกว่าอาคารที่ไม่ติดตั้งมวลหน่วงเลย(ND) และอาคารที่ติดตั้งมวลหน่วงปรับค่าแบบแพสสีฟ(TMD)

4.3.2. จากตารางที่ 4.3 ,4.4 ,4.5 และกราฟรูปที่ 4.3 ,4.4 ,4.5 ที่ความเร็วเชิงมุมธรรมชาติที่สองของอาคาร 3 ชั้น อาคารที่ติดตั้งมวลหน่วงปรับค่าพิเศษมีการเคลื่อนด้านข้างน้อยกว่าอาคารที่ไม่ติดตั้งมวลหน่วงเลยและอาคารที่ติดตั้งมวลหน่วงปรับค่าแบบแพสสีฟ

4.3.3. จากตารางที่ 4.3 ,4.4 ,4.5 และกราฟรูปที่ 4.3 ,4.4 ,4.5 ที่ความเร็วเชิงมุมธรรมชาติที่สามของอาคาร 3 ชั้น อาคารที่ติดตั้งมวลหน่วงปรับค่าพิเศษ(STMD) ใกล้เคียงกับอาคารที่ติดตั้งมวลหน่วงปรับค่าแบบแพสสีฟ

4.3.4. มวลหน่วงปรับค่าพิเศษไม่สามารถแก้ไขการสั่นพ้องที่ความถี่ธรรมชาติสูงได้เนื่องจากมวลหน่วงได้ถูกติดตั้งแต่ที่ชั้นสามชั้นเดียวจึงทำให้ประสิทธิภาพในการเปลี่ยนแปลงความถี่ธรรมชาติของอาคารน้อย การออกแบบด้วยมวลหน่วงพิเศษควรจะต้องมีการออกแบบที่ซ้ำซ้อนกว่านี้